



Zdjęcie nr 1. Teren przyległy do budynku administracyjnego.
Zilustrowanie wielkości i kierunku spadku terenu w korespondencji z posadowieniem budynku administracyjnego.



Zdjęcie nr 2. Lokalizacja wysokościowa terenowej czepni powietrza z klatką schodową przy ścianie frontowej budynku administracyjnego.
Zilustrowanie wielkości i kierunku spadku terenu. Widoczne duże zawilgocenie substratu.



Zdjęcie nr 3. Ukształtowanie betonowej powierzchni terenu w okolicy budynku MS-15. Zilustrowanie wielkości i kierunku spadku terenu. Widoczna niecka w miejscu zbiegu płyt betonowych, bez wpustu deszczowego.



Zdjęcie nr 4. Zilustrowanie wielkości i kierunku spadku terenu przy ścianie frontowej budynku holu głównego.



Zdjęcie nr 5. Klatka schodowa w południowo-wschodnim narożniku terenu Muzeum. Zilustrowanie wielkości i kierunku spadku terenu. Widoczne duże zawilgocenie w prawym narożu wejścia do klatki schodowej.



Zdjęcie nr 6. Teren zielony przy ścianie frontowej budynku administracyjnego. Widoczne duże zawilgocenie substratu i obumarcie nasadzonych roślin.



Zdjęcie nr 7. Lokalizacja wysokościowa terenowej czerpni powietrza z klatką schodową przy ścianie frontowej budynku administracyjnego. Zilustrowanie wielkości i kierunku przepływu wód deszczowych. Widoczne duże zawilgocenie Substratu i degradacja nasadzeń spowodowana zawilgoceniem.



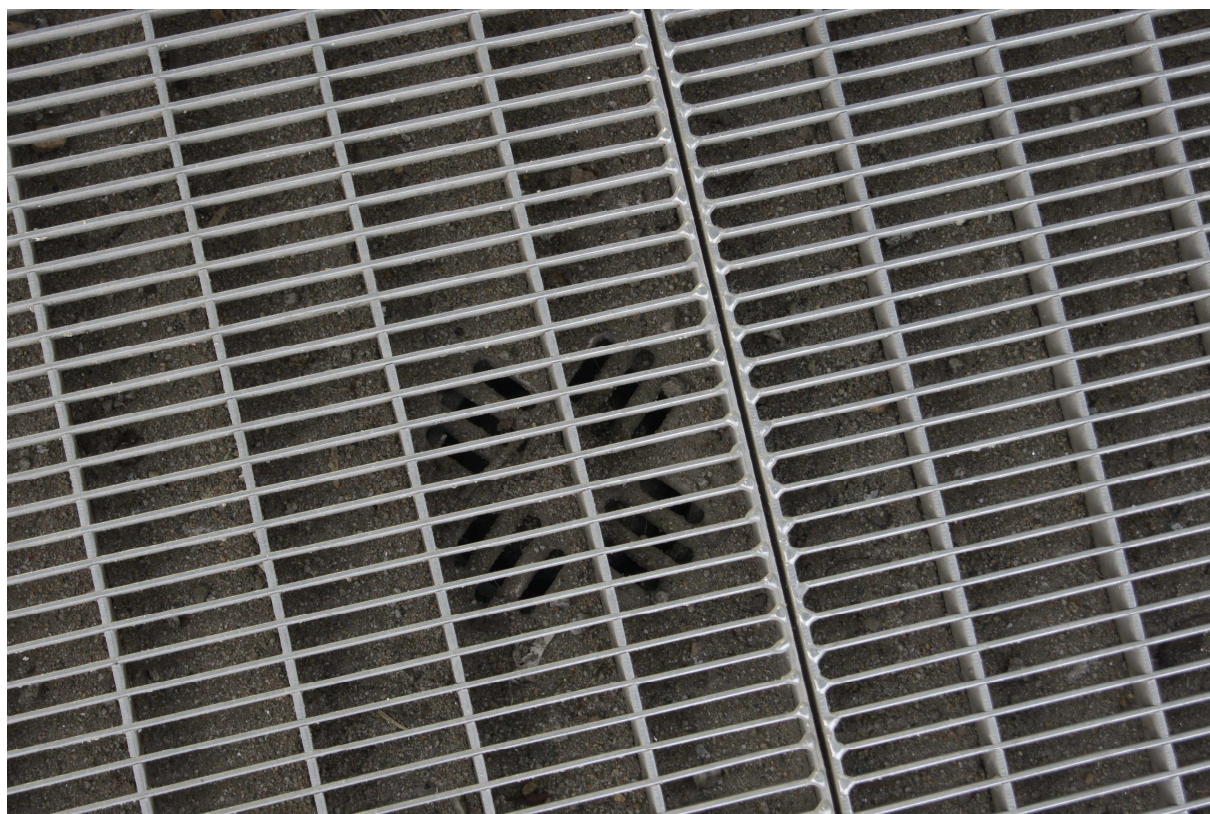
Zdjęcie nr 8. Teren zielony przy ścianie frontowej budynku administracyjnego. Widoczne duże zawilgocenie substratu i obumarcie nasadzonych roślin. Widoczny napływ żwiru na obszar substratu.



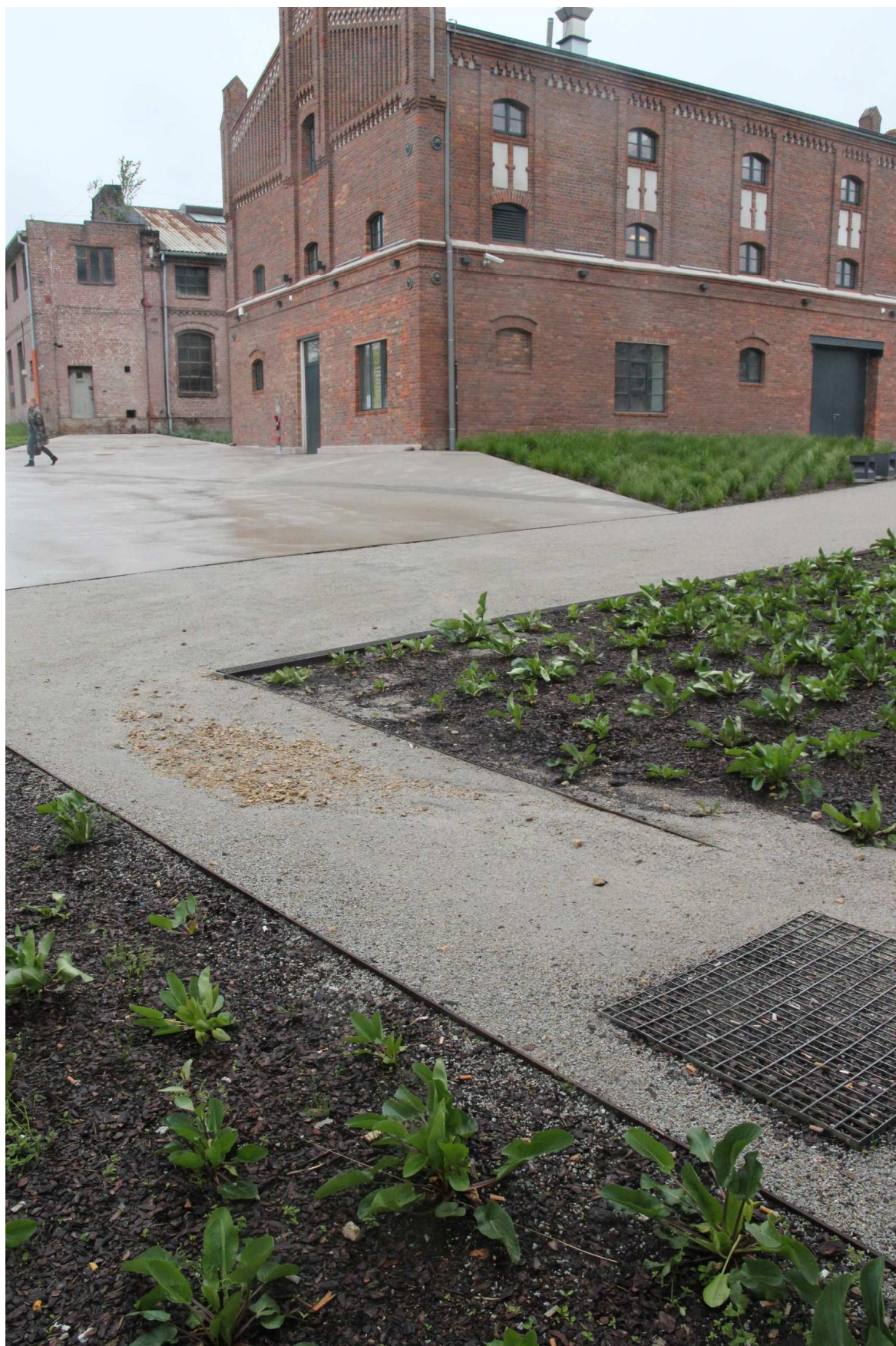
Zdjęcie nr 9. Odwodnienie liniowe przy wejściu głównym do budynku administracyjnego. Widoczne „odprowadzenie” wód wyciętą w betonie szczeliną w kierunku wpustu pod wycieraczką systemową.



Zdjęcie nr 10. Wycieraczka systemowa przy wejściu głównym do budynku administracyjnego. Widoczne „zawilgocenie przy lewym narożu wycieraczki spowodowane brakiem należytego odprowadzenia wód z odwodnienia liniowego (nawiązanie do rys.9)



Zdjęcie nr 11. Wycieraczka systemowa przy wejściu głównym do budynku administracyjnego. Widoczny wpust deszczowy – duże zanieczyszczenie żwirem i piachem.



Zdjęcie nr 11a. Widok na ścieżkę dojścia do budynku administracyjnego. Widoczne Przemycie Żwiru na obszar substratu i ubytki żwiru w ścieżce spowodowane niekontrolowanym przepływem wody deszczowej.



Zdjęcie nr 12. Widok od strony budynku holu głównego na budynek MS-8 (częściowo) i budynek MS-CH, a także obiekt nie objęty pracami renowacyjnymi. Widoczne duże zawilgocenie obszaru substratu i degenerację roślin.



Zdjęcie nr 13. Widok od strony budynku holu głównego na budynek administracyjny i szyby. Widoczna degeneracja roślin i pas zniszczeń w miejscu głównej trasy przepływających wód deszczowych.



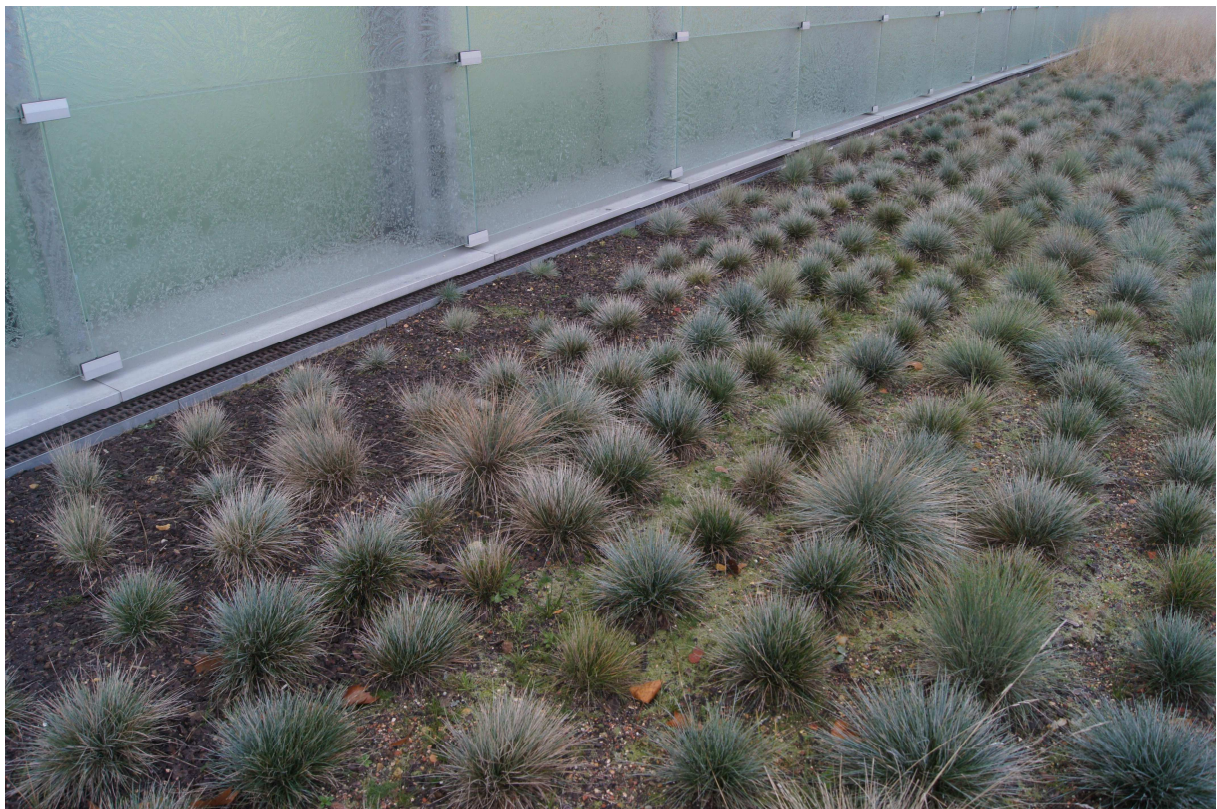
Zdjęcie nr 14. Wejście do budynku administracyjnego.
Zilustrowanie sposobu odprowadzenia wód deszczowych z odwodnienia liniowego (szczelina widoczna pod kratką wycieraczki systemowej)



Zdjęcie nr 15. Wejście do budynku administracyjnego.
Sposób odprowadzenia wód deszczowych z odwodnienia liniowego – szczegół,
zilustrowanie braku drożności połączenia



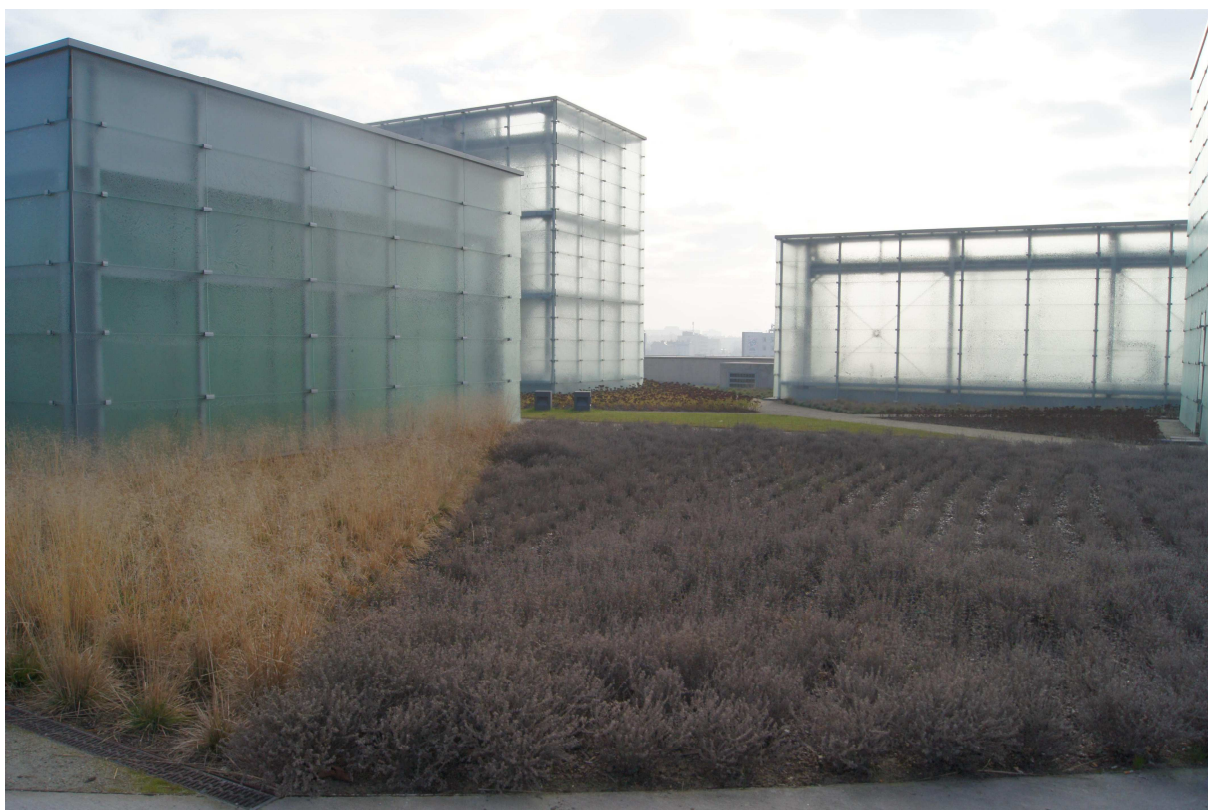
Zdjęcie nr 16. Wejście do budynku holu centralnego.
Widok na wycieraczkę systemową przy wejściu głównym, odwodnienia liniowe oraz
Wpust w dachu budynku podziemnego. Widoczne zawilgocenia w obszarach ścieżek
i wpustu.



Zdjęcie nr 17. Front budynku holu centralnego.
Widok odwodnienie liniowe oraz pole zieleni. Widoczne objawy zalegania wód opadowych
- porost mchem i degradacja roślinności.



Zdjęcie nr 18. Wejście do budynku holu centralnego.
Szczegół obrazujący porost mchów w wyniku ustawicznego zalegania wód deszczowych
w przestrzeni zieleni.



Zdjęcie nr 19. Widok na szyby naświetlające od strony fundamentów szybu górniczego.
Widoczna degradacja roślin spowodowana stałym zawilgoceniem substratu.



Zdjęcie nr 20. Widok na zachodni kraniec obszaru analizowanego od strony szybów górniczych. Widoczne duże zawilgocenie obszarów zielonych i niemal całkowita degradacja roślin.



Zdjęcie nr 21. Widok na zachodni kraniec obszaru analizowanego od strony szybów górniczych. Widoczne duże zawilgocenie obszarów zielonych i niemal całkowita degradacja roślin. W tle widoczna skarpa ograniczająca obszar Muzeum od strony północnej (częściowo widoczna degradacja roślin na skarpie).



Zdjęcie nr 23. Widok na budynek nie objęty pracami renowacyjnymi (przy wjeździe głównym do budynku administracyjnego). Widoczne naniesienie żwiru ze ścieżki na obszar zieleni. Widoczna niemal całkowita degradacja roślin po obydwóch stronach ścieżki spowodowana ustawicznym zaleganiem wód opadowych.



Zdjęcie nr 24. Widok na budynek nie objęty pracami renowacyjnymi (przy wjeździe głównym do budynku administracyjnego). Zbliżenie na sytuację ze zdjęcia nr 23.



Zdjęcie nr 25. Widok na naroże budynku MS-CH od strony dojścia od szybów górniczych. Widok na budynek nie objęty pracami renowacyjnymi (ze zdjęć nr 23 i 24) od strony budynku MS-CH. Widoczne omszenie ścieżki wzdłuż elewacji budynku spowodowane ustawicznymi zastojami wody deszczowej.



Zdjęcie nr 26. Widok na naroże budynku MS-CH od strony dojścia od szybów górniczych. Zbliżenie widocznego omszenia ścieżki wzdłuż elewacji budynku spowodowanego zastojami wody deszczowej.



Zdjęcie nr 27a. Widok na naroże budynku MS-CH od strony dojścia od szybów górniczych. Widoczna degradacja roślinności spowodowana napływem wód opadowych z wyżej położonego terenu.



Zdjęcie nr 28. Widok na południowo-wschodnie naroże budynku MS-CH od strony dojścia od szybów górniczych.

Widok na budynek poza obszarem Muzeum (od strony ul. Kopalnianej). Widoczna degradacja roślinności na skarpie wzdłuż ściany budynku oraz naniesiony piach ze skarpy znajdującej się poza obszarem inwestycji. Skarpa poza obszarem inwestycji jest wyposażona w koryta ukierunkowujące spływ wód deszczowych, jednak nie rozwiązujące całkowicie problemu napływu wód na teren Muzeum.



Zdjęcie nr 29. Widok na naświetle od fundamentów szybów górniczych. Widoczna całkowita degradacja roślinności, naniesiony żwir oraz w drugim planie rura spustowa budynku naświetla wyprowadzona na teren.



Zdjęcie nr 30. Widok na naświetle od fundamentów szybów górniczych. Zbliżenie na rurę spustową budynku naświetla wyprowadzoną na teren. Widoczna degradacja roślin i naniesiony zwir na teren zielony.



Zdjęcie nr 30a. Widok na naroże szklanego boksu nr 1. Zdjęcie wykonane bezpośrednio po opadach deszczu. Widoczne niecki wypełnione wodą, naniesiony żwir oraz całkowite nasączenie substratu wodą. Degradacja roślin niemal 100%.



Zdjęcie nr 30b. Widok na naświetla (szklane boksy 1,2,3,4) od strony ścieżki w zachodniej granicy terenu Muzeum. Zdjęcie wykonane bezpośrednio po opadach deszczu. Widoczne niecki wypełnione wodą, naniesiony żwir oraz całkowite nasączenie substratu wodą. Degradacja roślin niemal 100%.



Zdjęcie nr 31. Widok ze szklanego boksu nr 1 na szklany boks nr 2.
Zdjęcie wykonane bezpośrednio po opadach deszczu.
Widoczne niecki wypełnione wodą, naniesiony żwir oraz całkowite nasączenie substratu wodą. Degradacja roślin niemal 100%.



Zdjęcie nr 32. Widok na zachodnią granicę obszaru Muzeum przy boksie szklanym nr 1. Widoczne naniesienie piachu i żwiru na obszar zielony oraz zamszenie w granicy ścieżki żwirowej. Zdjęcie obrazuje kierunek napływu wód deszczowych na obszary zielone przy zachodniej granicy terenu Muzeum.



Zdjęcie nr 33. Widok na skarpę na granicy obszaru Muzeum od strony północnej. Widoczna różnica poziomów terenu oraz bardzo duża degradacja roślin z powodu zastoju wód opadowych. Przy schodach widoczne naniesienia piachu i żwiru z wyżej położonego terenu.



Zdjęcie nr 34. Widok na granicę obszaru Muzeum od strony zachodniej. Widoczna różnica poziomów terenu w kierunku schodów. Wyraźnie widoczny rów wyłobiony przez przepływający podczas opadów strumień wód deszczowych. Na końcu rowu widoczna niecka. Degradacja roślin w rowie.



Zdjęcie nr 35. Widok na szklany boks nr 2 od strony zachodniej.
Widoczna degradacja roślin na całym obszarze zielonym.



Zdjęcie nr 35a. Widok na granicę obszaru Muzeum od strony zachodniej.
Widok na schody na wprost. Widoczne zniszczenia ścieżki żwirkowej, wymywanie żwiru
W poprzek ścieżki przez przepływającą wodę deszczową.
Widoczny napływ wód od strony parkingu przy zachodniej granicy inwestycji (parking poza granicami inwestycji) Degradacja roślin w rowie.



Zdjęcie nr 36. Widok na czerpnię powietrza z klatką schodową przy budynku administracyjnym. W drugim planie budynki MS-15 (w centrum) oraz budynek nie objęty renowacją (po lewej stronie). Widoczne zniszczenie ścieżki żwirowej, naniesienie znacznych ilości żwiru i piachu na obszar zielony. Zilustrowanie obumarcia roślin, w znacznej części obszaru niemal całkowite. Przy prawej ścianie klatki schodowej z czerpnią widoczna niecka z naniesieniami żwiru i piasku od strony najbliższej ścieżki. Zdjęcie ilustruje swobodny przepływ wód deszczowych po powierzchni terenu.



Zdjęcie nr 37. Widok na czerpnię powietrza z klatką schodową przy budynku administracyjnym. W drugim planie budynki MS-15 (w centrum) oraz budynek nie objęty renowacją (po lewej stronie) i budynek administracji – po prawej stronie. Zdjęcie stanowi przybliżenie sytuacji zobrazowanej na zdjęciu nr 36. Widoczne naniesienie znacznych ilości żwiru i piachu na obszar zielony. Zilustrowanie obumarcia roślin, w znacznej części obszaru niemal całkowite. Zdjęcie ilustruje swobodny przepływ wód deszczowych po powierzchni terenu.



Zdjęcie nr 38. Widok na szklany boks nr 6 i 5 od strony zachodniej.
W drugim planie widoczne szyby oraz budynek administracyjno-biurowy
Widoczna degradacja roślin na obszarze zielonym. Widoczne naniesienie kory
z obszaru zielonego na ścieżkę żwirową (zobrazowanie kierunku przepływu wody).



Zdjęcie nr 39. Widok na szklany boks nr 6 i 5 oraz budynek holu centralnego od strony budynku administracyjnego. W drugim planie widoczny szyb górniczy. Zdjęcie wykonane bezpośrednio po opadach deszczu. Widoczne zawilgocenie ściany szybu, nagromadzenie wody przy ścianie szybu. Widoczne również wpusty deszczowe. Brak przeciwspadków przy wpustach.